

استخدام تقنية التحويل الرياضي في تمييز الحروف العربية المطبوعة المفصلة

إيهان خليل سليمان القبيسي

مدرس مساعد، قسم علوم الحاسوبات، الجامعة التكنولوجية، بغداد، العراق

ملخص البحث. تم تصميم خوارزمية لتمييز الحروف العربية المطبوعة المفصلة وهي ٦٢ حرفاً (أولي، وسطي ، نهائى). في المرحلة الأولى للخوارزمية انجز على النمط الداخل عمليات المعالجة الأولية كالتمرير (centroid) وتطبيع الحجم (size normalization) وعرض الخطوة (stroke) والتي تبعها عملية استخلاص الصفات باستخدام إحدى تقنيات التحويل الرياضي وهو تحويل فوريير السريع ثنائية الأبعاد (2-D FFT) وتعيين المعاملات المكافئة إحصائياً من المعاملات المحسوبة. وفي المرحلة الثانية (التمييز) استخدم دوال أقل مسافة للتعرف على أعلى درجة تشابه. ينسب النمط المجهول إلى الصنف الذي تكون المسافة بين متوجه صفاتاته ومتجه صفات النمط المجهول الأقل.

اختبارت خوارزمية التمييز باستخدام ٧٤٤ نموذجاً من الحروف العربية المطبوعة (١٢ نموذجاً لكل حرفة) مختلفة عن نماذج العينة التعليمية (learning set) وتم الحصول عليها من طابعات مختلفة نوع أوليفيتي Olivetti editor 4) متشابهة في حجم وشكل الحروف وكانت نسبة التمييز ٢٪، والخطأ ٤٪، ونسبة الرفض صفر٪. وذلك باستخدام منظومة الوثائق (VIPS 2000) والمحاسبة (Mini-6).

١ - المقدمة

لموضوع تمييز الأنماط (PR) (pattern recognition) عدة تطبيقات وفي مجالات مختلفة. أحد هذه المجالات هو تمييز الحروف المطبوعة والمكتوبة باليد. مثل قراءة العنوانين البريدية آلياً وقراءة الوثائق والمستندات. لقد بذلت جهود كبيرة لتطوير هذا المجال لأنه يمثل الحال الأمثل لمعالجة كميات كبيرة من البيانات آلياً وخصوصاً عندما تكون معالجة البيانات يدوياً غير عملية.

ت تكون منظومة تمييز الحروف البصرية (OCR) (optical character recognition) من المراحل التالية [١]: الماسح البصري، التقطيع وتحديد الموقع، المعالجة الأولية، استخلاص الصفات، التصنيف وأخذ القرار.

في هذه المقدمة ستطرق إلى استعراض البحوث التي لها علاقة بتمييز الحروف العربية (Arabic) والإنجليزية (English) واليابانية (Kanji).

في عام ١٩٨٠ م قدم Nouh *et al.* [٢] في بحثهم (منهج لتمييز الحروف العربية)، نماذج معيارية هندسية للحروف العربية بموجب قاعدة ابن مقلة "Ibn Mugula". استخدم في التمييز شجرة البحث التابع (tree search sequential) لمقارنة صفات الأنماط المجهولة مع صفات معلومة لأنماط الحروف العربية. ذكر إن زمن تمييز ٣١ حرفاً باستخدام الحاسبة HP 3000 هو ١٤٣ ثانية. لم يتطرق البحث إلى كفاءة التمييز للخوارزمية.

في عام ١٩٨٠ م استخدم Amin *et al.* [٣] العديد من تقنيات المنهج الإحصائي أو القواعدي أو كليهما معاً لتمييز الحروف العربية المكتوبة باليد باستخدام لوحة الرسم (graphic tablet) وقد استعملوا في نظامهم التمييز التفاعلي للحروف العربية (IRAC) (interactive recognition of arabic characters) طريقة التصنيف التركيب لتمييز الحروف العربية المعزلة. معدل زمن التمييز هو ٤٪٩٥ باستخدام علاقة رياضية لتحديد مقدار المسافة بين صفات الحرف المجهول والصفات المحددة مسبقاً والمخزونة في القاموس ويعين الحرف الأكثر قرباً.

في عام ١٩٨٤ م قدم Al-Tikrity and Bansal [٤] في بحثهم صنف جديد من الدوال المثلثية المتعامدة. هذه الدوال تدعى Tals, Talc وهم شبهاً ذاتي الجيب تمام (cosine) والجيب (sine) على التوالي. إن استعمال هذه الدوال المثلثية المتعامدة لمعالجة الحروف العربية المطبوعة (script) والتي لها ميزات الحروف المسمارية (cuneiform) سوف يتبع خوارزميات أبسط وأسرع لتحليل/تركيب مثل هذه الأشكال الموجية. ذكر في البحث أن

من مخاسن النهج أنه قلل عدد الشبكات (grids) المتطلبة لتمييز تركيب النمط وهذا عمل على توفير حقيقي في زمن الحاسبة إذ أن الشبكة التي استخدمها (6×6) بدلاً من (12×12).

في عام ١٩٨٤ صمم Murad [٥] في بحثه منظومة لتمييز الحروف العربية المطبوعة. اشتمل البحث طريقتين مختلفتين في التمييز هما التمييز باستخدام صفة القناع (template matching) والتمييز باستخدام المساقط الجانبية (projection profile) ولم يتطرق البحث إلى ذكر كفاءة المنظومة.

في عام ١٩٨٥ استخدم الباحث Yacu [٦] في بحثه النهج التركيبي لتمييز الحروف والأرقام العربية المكتوبة باليد معتمداً على الصفات الهندسية المستخلصة من الشكل. استخدم الباحث جدول مقارنة (lookup table) ليسجل فيه الصفات الخاصة بكل حرف، ولتصنيف الحرف المجهول تم مقارنة صفاتة المستخلصة مع الصفات المخزونة في جدول المقارنة وكان معدل التمييز بالنسبة للحروف العربية مساوً إلى ٨٧٪.

في عام ١٩٧٢ قام الباحث Grandlund [٧] بوصف طريقة لتمييز الحروف المطبوعة باستخدام تحويل فوريير (Fourier transformation) لاستخلاص الصفات. عبر عن كل حرف بمجموعة ثنائية 35×35 ثم تبع محيط الحرف وخلال التتبع تحسب معاملات فوريير وذلك بحساب التكامل حول منحنى مغلق وهو المحيط الخارجي للحرف. نظام التصنيف المستعمل ارتكز على الاحتمالية البسيطة ومقاييس المسافة، وكان معدل التمييز الصحيح هو ٩٨٪.

في عام ١٩٨٣ طور الباحثان Fleming and Hemmings [٨] طريقة لقراءة كتلة الحروف الكبيرة المكتوبة باليد (handwritten block capitals) للفرز الآوتوماتيكي للبريد. أجريت على الحرف عمليات المعالجة الأولية كتعيين حجم المصفوفة وهو (16×24) ومركزته فيها وترفيقه بطريقة تقلل العقد الغير منطقية والذيول ثم تشفيه. ولتمييز الحرف يعبر عنه كسلسلة مستقيمات وخطوط منحنية والإحداثيات لهيايات هذه الخطوط معاً

مع مقاييس هذه الانحناءات تطبق على مصنف كاوس الإحصائي المتعدد المتغيرات (multivariate) وقد استخدما ١٢٩٧ نموذجاً للاختبار (alphanumeric) وكانت النتائج ٦٥٪ رفض، ٣٥٪ خطأ.

في عام ١٩٨٣م أدخل الباحثان Mantas and Heaton [٩] طريقة تحليل الشكل للحروف المكتوبة باليد المرتكزة على تقرير المضلعات (approximation polygonal) والتمييز على أساس تصنيف الغموض المتوازي (labelling parallel fuzzy) تعتمد النتائج في الأغلب على المعلومات المخزونة في ملف الخصائص المميزة (labelling file).

في عام ١٩٨٣م اقترح Yamashita *et al.* [١٠] طريقة لتصنيف الحروف اليابانية (Kanji character) بطريقة تطابق القطع التركيبية (structured segment matching) بعد استخلاص قطع المستقيم وتجزئته مساحة إطار الحرف، ولد متوجه الصفات الذي يمثل الخطوط (strokes) (وهي الخطوط التي يتتألف منها الحرف) وتطابق مع متوجه المعدل في القاموس. استعملت المسافة الإقليدية (euclidean distance) من متجهات القاموس كدوال تمييز وكان معدل التمييز الصحيح يزيد عن ٩٩٪.

في عام ١٩٨٣م عمل Kobayashi *et al.* [١١] على تمييز الحروف اليابانية المخطوطة باليد بطريقة تطابق الخطوة (stroke matching method) لاستخلاص الصفات استخدمت طريقة التحليل التركيبية وللقرار استخدمت طريقة التطابق المعياري. نسبة التمييز تزيد عن ٩٠٪ عند اختبار ١٠٠ حرف ياباني.

في بحثي هذا تميز الحروف العربية المطبوعة استخدم المنهج الإحصائي ففي مرحلة استخلاص الصفات استخدمت إحدى تقنيات التحويل الرياضي وهو تحويل فوريير السريع الثنائي الأبعاد (two dimensional fast Fourier transform) (2-D FFT) لأن معاملات فوريير خطية وتعكس خواص النمط. وفي مرحلة التمييز استخدمت دالة المسافة الأقل لغرض مقارنة الصفات للنمط المجهول مع صفات الأصناف للمجموعة التعليمية في القاموس (مصفوفة الصفات) ويعطى القرار طبقاً لأقل مسافة بين النمط والصنف المعين.

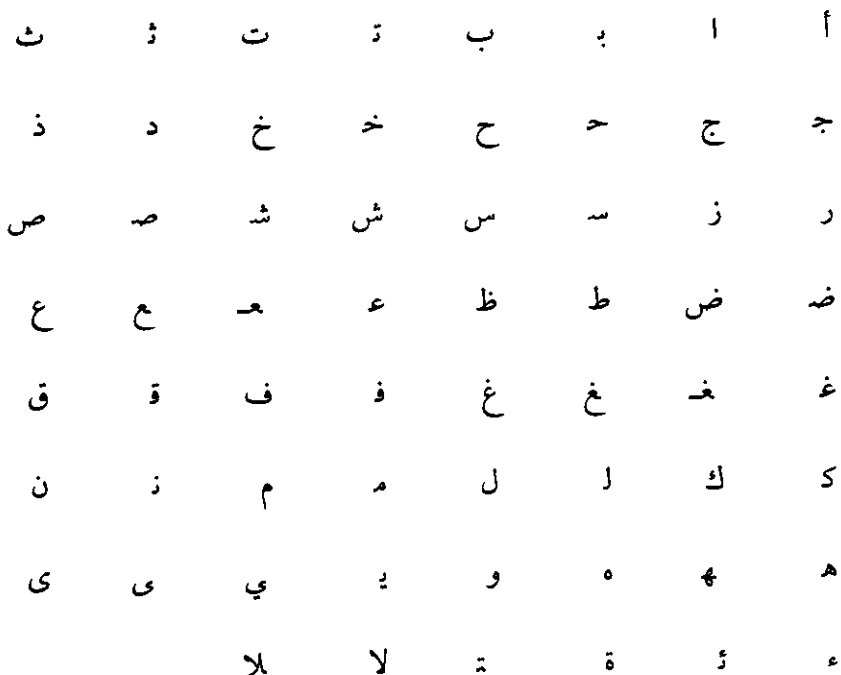
في عام ١٩٨٧ م قدمت Iman Al-Quisi [١٢ ، ١٣] النهج ذاته لتمييز الأرقام العربية المكتوبة باليد، وكانت نسبة التمييز الصحيح ١٨٪ ونسبة التمييز الخاطئ ٨٢٪ ونسبة الرفض صفر٪. وفي بحث آخر [١٤] استخدمت دوال الأرجحية في تمييز الأرقام العربية المكتوبة باليد اعتمد فيه معاملات فوريير وشخصت العوامل الكفؤة والغير معتمدة إحصائياً على بعضها. واعتمدت دالة أعلى تشابه (الأرجحية) في التمييز باستخدام مصنف بيز (Bayes classifier) كأسلوب لتشخيص أعلى درجة تشابه بين النمط والأصناف المعرفة لنظامة التمييز. وكانت نسبة التمييز الصحيح ٩١٪ ونسبة التمييز الخاطئ ٣٪ ونسبة الرفض ٦٪.

في هذا البحث استخدم النهج [١٢ ، ١٣] لتمييز الحروف العربية المطبوعة باستخدام طابعة أوليفتي (Olivetti editor 4).

٢ - استخلاص صفات أنماط الحروف العربية

في مرحلة استخلاص الصفات استخدم (٣٠) نموذجاً تعليمياً (learning set) متشابهة في الحجم والشكل لكل نمط من الحروف العربية المطبوعة (٦٢ حرفاً أولياً، وسطياً، نهائياً) كما في الشكل (١) وباستخدام طابعات مختلفة من نوع أوليفتي (Olivetti editor 4) لتوضيح الفروقات وتأثيرات الشريط الكربوني، حجوم وأشكال الحروف هي نفسها في الطابعات المختلفة.

حولت الصورة لكل نمط داخل إلى مصفوفة ثنائية ذات أبعاد (48x48) باستخدام منظومة التوثيق (VIPS 2000) والتي تشتمل على قارئ صفحات يحول صورة بقياس A4 إلى مصفوفة ثنائية بقياس (1024x1536) طور برنامج تفاعلي (interactive program) لاستخلاص النمط من المصفوفة (1024x1536) إلى المصفوفة بقياس (48x48) ثم أجريت على النمط عمليات المعالجة الأولية (تطبيع الحجم size normalization وعرض الخطوة stroke والتمرکز centroid).



شكل ١ . أنماط الحروف العربية المطبوعة

صممت خوارزمية تطبيع الحجم لغرض تصغير حجم الحيز الذي يشغلة الحرف وهو مصفوفة (48x48) إلى مصفوفة (16x16) وذلك للتقليل من عدد معاملات فوريير التي ستتتتج في مرحلة استخلاص الصفات وتقليل زمن التمييز، و اختيار هذا الحجم لكونه أصغر حجم مناسب ببعد 24 الذي يتطلبه روتين تحويل فوريير السريع أحادي البعد (1-D FFT) المستخدم في خوارزمية تحويل فوريير السريع ثنائي الأبعاد (2-D FFT). من التجربة وجد أن استخدام البعد $=2^3=8$ يلغى بعض الخواص التبولوجية للنمط في حين أن اختيار مصفوفة ببعد $=2^4=16$ يحتفظ بالخواص التبولوجية وأن البعد $=2^5=32$ يستغرق وقت أطول بكثير من وقت المصفوفة ذات بعد $^{24}.$

اعتمدت خوارزمية تطبيع الحجم على فكرة تقسيم الحيز الذي يشغلة النمط إلى شبكات (grids) كل شبكة ذات أبعاد (3x3) حيث يتم مقارنة المجموع الجبri للنقاط الموجودة في كل شبكة مع قيمة حدية (threshold value) مناسبة مقدارها 2 (تم اختيارها

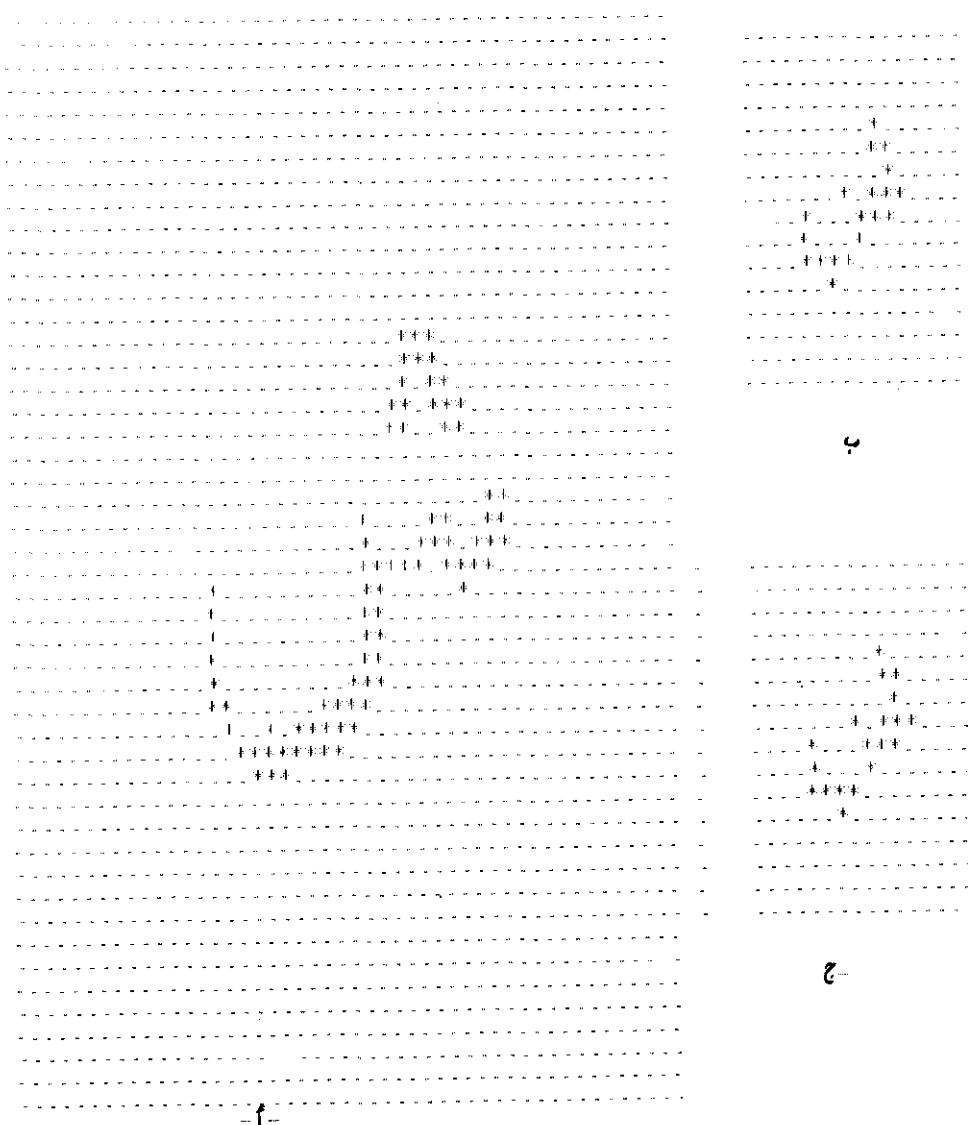
اعتباراً على التجارب) لكي يتم تحديد قيمة النقطة التي يجب تعويضها في المصفوفة الجديدة (المصغرة)، حيث كل شبكة (3x3) في مصفوفة النمط نقلت إلى نقطة مفردة بعد مقارنة المجموع الجبري لمحوها (أي مجموع الـ's) «النقطا السوداء» مع القيمة الخدية فإذا كان المجموع الجيري لتلك النقاط أكبر أو يساوي القيمة الخدية ف تكون النقطة في المصفوفة الجديدة المقابلة للشبكة هي (1) (جسم object) وإذا كانت أصغر فتنتقل على أنها (0) (خلفية background) الناتج لهذه العملية هو مصفوفة (16x16). إن سبب اختيار القيمة الخدية 2 (threshold value) هو نتيجة التجربة على البيانات التعليمية حيث وجد أنها مناسبة لانقطاع الحرف أو تحدُف النقاط الموجودة في الكثير من الحروف. فالقيمة الخدية 2 هي أفضل من 4 أو 3 لأن 4 تعمل على قطع النمط أو تهمل نقاطه و 3 تحدُف النقاط من الأنماط مثل (ث، ت)، (ز، ر)، (ذ، د)، (خ، ح)، (ج) والتي تؤدي إلى خطأ في التصنيف.

عرض الخطة والذي يمكن اعتباره معدل النقاط السوداء في النمط يعتمد على القيمة الخدية فالقيمة العالية تعطي نمط أنحف والقيمة المنخفضة تعطي نمط أسمك. وعليه فإن هذه الخوارزمية تنجز تطبيق الحجم وعرض الخطة بتزامن.

تمت مركزة الحرف قبل وبعد عملية تصغير الحجم للسيطرة على موقع الحرف وذلك بمواطنة مركز الحرف (centroid) مع مركز حيز الحرف أي الموقع (24.5, 24.5) للمصفوفة (48x48) ثم (8.5, 8.5) للمصفوفة المصغرة (16x16).

الشكل ٢ يوضح تأثير عمليات المعالجة الأولية على الحرف العربي المطبع ش. بعد الانتهاء من عمليات المعالجة الأولية، تم استخدام إحدى تقنيات التحويل الرياضي وهو تحويل فوريير السريع ثالثي الأبعاد حيث نفذ برنامج (2-D FFT) وحسبت معاملات فوريير لمصفوفة الأنماط الرقمية المصغرة ذات الأبعاد (16x16) [١٢] حيث طبق روتين (1-D FFT) [١٥] على الصنفوف لمصفوفة النمط (16x16) ثم طبق على أعمدة المصفوفة الناتجة، أي استخدام أسلوب صف عمود (row-column decomposition) [١٦].

لكل مصفوفة (16x16) ينتج ٥١٢ معامل لفوريير، ٢٥٦ معامل حقيقي و ٢٥٦ معامل خيالي ونظراً لتوفر الخصائص الدورية في العامل الأسني لمعامل فوريير والذي يؤدي



شكل ٢ . تأثير المعالجة الأولية على الحرف المطبوع (ش)

أ) مصفوفة النمط الرقمية ذات الأبعاد (48x48).

ب) تصغير المصفوفة إلى الأبعاد (16x16) بخوارزمية تطبيق الحجم.

ج) قرّرّز الحرف في حيز المصفوفة الرقمية حسب مركز جاذبية الحرف بخوارزمية التمرّز.

إلى تناظر في معاملات فوريير [١٧] لذلك حذفت المعاملات المتناظرة والتي تقلل المعاملات المختارة في مرحلة استخلاص الصفات. بعد الحذف بقي ٢٥٦ معامل. هذه المعاملات لها خصائص يكُونُ بها تحتوي معاملات تعتمد على الحجم، الاتجاه الزاوي، الموقع وطور الزاوية الاختياري [٧].

المخطط الانسيابي وقائمة البرامج لعمليات المعالجة الأولية وخوارزمية (2-D FFT) متوفرة في مصدر [١٢].

لفرض تشخيص الصفات المميزة للحروف العربية كرر تنفيذ البرنامج لثلاثين نموذجاً تعليمياً لكل حرف. لتمييز المعاملات المتكافئة بين هذه المعاملات، تم حساب المعدلات (means) لمعاملات فوريير، الانحراف المعياري (standard deviation) ومعامل الاختلاف (coefficient of variation) لكل صنف (٦٢ صنف).

في بادئ الأمر اختير أصغر ١٢٨ قيمة من ٢٥٦ لقيم معامل الاختلاف (كقييم مطلقة) وكررت هذه العملية على كل الأصناف ثم انتقيت من العناصر الـ (١٢٨) العناصر المشتركة بالموقع في جميع أو أغلب الحروف (٦٢) ووجد أنها ٢٨ عنصراً، ومعاملات فوريير للمعدلات المتناظرة لها بالموقع اعتبرت أكفاءً للمعاملات والتي تعطي خصائص تميز النمط أكثر من غيرها. ويمكن عمل هذا بوضع عناصر معاملات الاختلاف الـ ٥١٢ عنصر لـ ٦٢ صنف في مصفوفة ذات أبعاد (٦٢، ٥١٢) و اختيار أصغر ١٢٨ عنصراً من كل عمود من الأعمدة الممثلة بالأصناف وتأشيرها ثم نعمل على اختيار الصنوف التي تكون كل أو أغلب عناصرها مؤشرة والتي تبين أنها ٢٨ صنف وأخذ في الاعتبار الصنوف المتكافئة.

معاملات فوريير الـ ٢٨ المختارة تمثل معدلات مستبطة من ثلاثين نموذجاً والتي كان معامل الاختلاف (الانحراف المعياري / المعدل) لها صغيراً نسبياً، والنهاية الحدية لقيمة معامل الاختلاف تختلف من حرف لآخر فكان على سبيل المثال أعلى قيمة حدية مطلقة لحرف (ت) هي ١٠،٩١ وأقل قيمة هي ١١،٠ من بين الـ ٢٨ معامل التالية:

، ١، ٢٧—، ٠، ١٣، ، ٠، ١١—، ٠، ٦٦، ، ٠، ١٢
 ، ٠، ٩٥—، ٠، ١٩—، ٠، ٥٩، ، ٠، ٤٥، ، ٠، ٢١—
 ، ٠، ٣٧—، ٠، ٩٩—، ٠، ٥٧—، ٠، ١٤، ١، ٢٧، ، ٠، ٠٧
 ، ١، ٢٢، ، ٠، ٣٤، ، ٠، ٣٥—، ١، ٧٩—، ٠، ٩١—، ١، ٧٩—
 ١، ٠٩—، ٠، ٨٠—، ٠، ٥٤—، ٠، ٧٨

ووجد أن الـ ٢٨ معامل المختارة من معاملات FFT تقع في الواقع التالية في المصفوفتين الحقيقة والخيالية ذات الأبعاد (16x16).

المعاملات الحقيقة هي :

(1,1), (1,2), (1,3), (2,1), (2,2), (2,3), (2,5), (3,2), (3,4), (4,1),
 (4,2), (4,3), (5,1), (15,4), (16,2), (16,3), (16,4)

المعاملات الخيالية هي :

(1,2), (1,3), (2,2), (2,3), (2,4), (14,3), (15,3), (15,4), (15,5),
 (16,3), (16,4).

وهذه الأماكن تكون متماثلة لجميع الحروف وكما يتضح في المثالين المعطيين في ملحق رقم (١) لحري خ ، ت والتي استخدمت في مرحلة استخلاص الصفات ، ومن الملحق يتضح أيضا التناظر الموجود في معاملات فوريير وموقع المعاملات المتكافئة التي تم اختيارها.

وقد تم التأكد من صحة موقع هذه المعاملات وذلك بأخذ نموذج واحد لكل حرف وإجراء عملية المعالجة الأولية عليه ثم تنفيذ برنامج 2-D FFT وتعيين موقع المعاملات المتكافئة المختارة ووضعها في مصفوفة ثم اختبرت بواسطتها النهاذج نفسها فأعطت نسبة تمييز ١٠٠٪ وهذا يدل على أن هذه الـ ٢٨ معامل قادرة على تمييز الحرف الذي أخذت منه هذه المعاملات.

خزنت المعاملات الـ ٢٨ الخاصة بكل حرف والتي تمثل عناصر متوجه الصفات في مصفوفة سميت بمصفوفة الصفات (feature vector) (28, 62) PX والموجودة في ملحق رقم (٢).

٣ - التمييز

إن أسلوب التمييز المستخدم هو دوال أقل مسافة (minimum distance functions) وهي من أكثر خوارزميات تصنيف الأنماط شيوعاً لبساطتها وعدم حاجتها لوقت حساب عالي. حسبت دوال الأقل مسافة بين النمط المجهول والأصناف (أ، ا، ب، ...). أي المسافة بين متوجه صفات النمط المجهول والذي يتكون من (٢٨) معامل متكافئ، مختارة من معاملات فوريير ومتوجهات الصفات لـ (٦٢) صنف (وهي ناتجة من قيم معدلات معاملات فوريير لـ «٣٠» نموذجاً تعليمياً لكل صنف) والتي مثلت بمصفوفة الصفات .PX (62, 28)

تعين المسافة الأقل الصنف الذي ينتمي إليه الحرف المجهول، فالمسافة الإقليدية هي مقاييس للتشابه، فالمسافة الأصغر تعني التشابه الأكبر.

تم حساب المسافة بالصيغة التالية:

$$\text{distance}(K) = \sqrt{\sum_{M=1}^{28} [X(M) - PX(K, M)]^2}$$

عندما يكون :

X (M): متوجه الصفات للحرف المجهول.

PX (K, M): مصفوفة متوجه الصفات للأصناف (أ، ا، ب، ...).

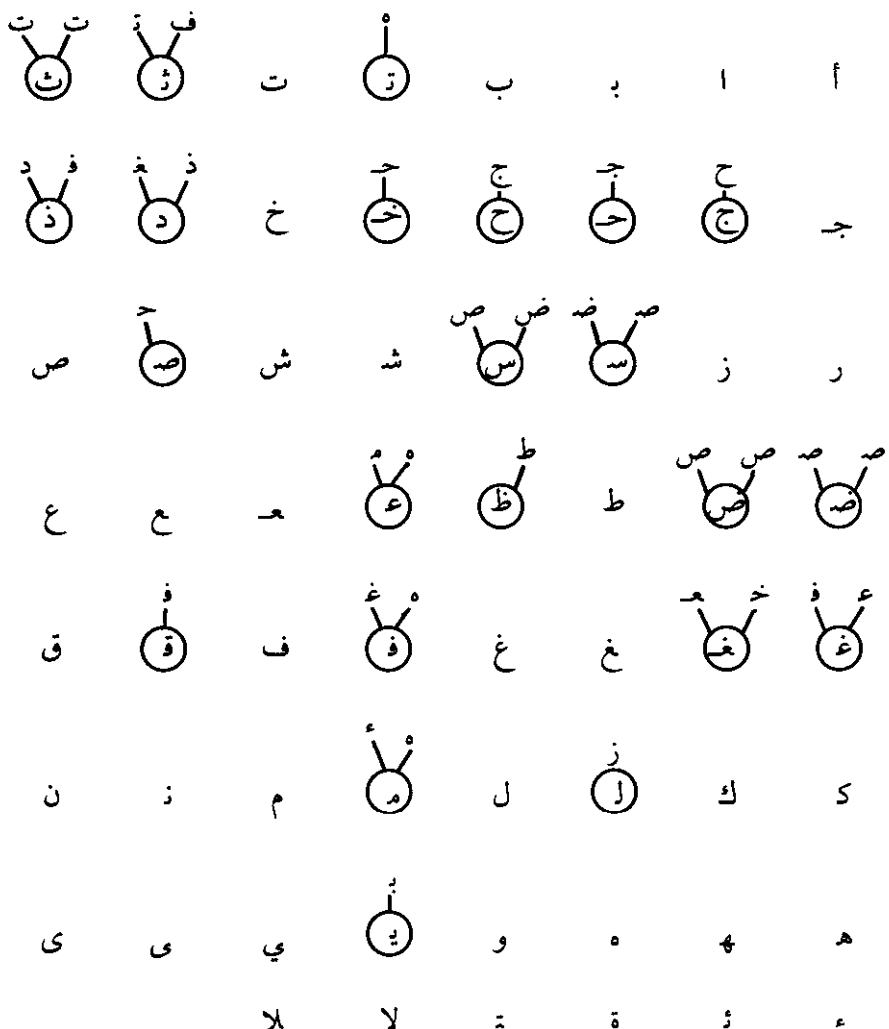
K: مؤشر الصنف.

M: مؤشر متوجه الصفة.

٤ - نتائج التجربة والمناقشة

الأداء للخوارزمية الموصوفة باستخدام 2-D FFT دالة أقل مسافة لتمييز الحروف العربية المطبوعة باستخدام طابعة أوليفيتي (Olivetti Editor 4) أعطى نسبة تمييز صحيح

٩٥,٢٪، ونسبة خطأ ٤,٤٪ عندما استعمل ٧٤٤ نموذجاً لكل حرف (٦٢ حرف) كمجموعة اختبارية (testing set) مختلفة عن النماذج الموجودة بالعينة التعليمية وحصل عليها من طابعات مختلفة من نوع أوليفتي وهي الطابعات نفسها التي أخذت منها نماذج العينة التعليمية مما أدى إلى الشابه في الحجم والشكل بين نماذج العينة الاختبارية ونماذج العينة التعليمية.



شكل ٣. الحروف العربية المطبوعة والتي ميزت بصورة خاطئة (٣٦ نموذجاً).

الشكل ٣ يبين الحروف العربية المطبوعة والتي ميزت بصورة خاطئة (٣٦) نموذج). سبب الخطأ يعود بصورة كبيرة إلى الماسح البصري (optical scanner) والذي يجعل النهازج التي على حدود الصفحة (sheet) أكثر سواداً (أو سمكاً) من النهازج الأخرى. أغلب الأخطاء (misclassification) كانت نتيجة حذف نقطة الحرف أو بسبب الضوضاء الذي يجعل الحرف أكثر سواداً من البقية ويغيره ليجعله شبيه بحرف آخر مثل م، ع أو ق، ف أو ذ، د. لتجنب الخطأ بالتصنيف، يمكن استخدام ماسح بصري أفضل والذي يؤدي إلى تحسين أداء المنظومة.

معدل الزمن المطلوب لتنفيذ خوارزمية تحويل فوريير السريع باستخدام الحاسبة (Mini-6) هو ٢٥ ثانية وهو يعتبر بطيئاً بالنسبة للتطبيقات العملية.

٥ - الاستنتاجات

- ١) استخدام منظومة إدخال لها درجات رمادية متعددة (multi-gray level) سوف يحسن نوعية الصورة الداخلية، ولكن هذا سوف يتطلب خزن وقت معالجة أكبر.
- ٢) لم تحتاج إلى خوارزمية للتنحيف (thinning) أو خوارزمية لمعالجة الایصالية (connectivity) لأن القيمة الحدية (threshold value) المستعملة في التصغير تعين سمك النمط، فالقيمة الحدية العالية تعطي نمط أنحف والقيمة المنخفضة تعطي نمط أسمك.
- ٣) وجد أن عملية تمركز الحرف الداخل قبل وبعد عملية التصغير تعطي نسبة تمييز أكثر كفاءة.
- ٤) وجد أن الـ ٢٨ معامل لفورير تمثل متوجه الصفات الأمثل، ومن الملاحظات المثيرة للانتباه هو متوجه الصفات نفسه المستخدم لتمييز الأرقام [١٢] والتي تم التوصل إليها بطريقة مشابهة وظهرت أنها متطابقة.
- ٥) نسبة التمييز الصحيح للحروف المطبوعة أعلى من نسبة تمييز الأرقام المكتوبة باليد وذلك لكون الأنماط المكتوبة باليد تتأثر بأسلوب الكتابة المختلفة والميلان ودرجة الانحراف والحجم ووسط وأداة الكتابة، أما المطبوعة بالطابعة فأغلب هذه

العوامل تكون غير موجودة وخاصة عند استعمال نوع معين من الطابعات تؤخذ منه العينات التعليمية والاختبارية.

- ٦) إن الزمن المطلوب لحساب (2-D FFT) ثابت لأي حرف (٢٥ حرفاً) ويعتبر بطيناً نسبة إلى التطبيقات العملية، ويمكن تقليله بتطبيق (1-D FFT) على خارطة الأعمدة (histogram) للنقط. في التطبيقات العملية، استخدام دوائر الكترونية متخصصة لحساب المعاملات سوف يقلل الوقت.
- ٧) يمكن استخدام هذا النهج لتمييز الحروف العربية المكتوبة باليد.

المراجع References

- Suen, C.Y.; Berthod, and Mori, S. "Automatic Recognition of Handprinted Character - The State of the Art." *Proceeding of the IEEE*, 68, No. 4 (1980). [١]
- Nouh, A.; Sultan, A. and Tolba, R. "An Approach for Arabic Characters Recognition". *J. Eng. Sci.*, College of Eng., Univ. of Riyadh, 6, No. 2 (1980), 185-191. [٢]
- Amin, A.; Kaced, A.; Haton, J. and Mohr, R. "Handwritten Arabic Character Recognition by I.R.A.C. System". *Fifth International Conference on Pattern Recognition*, Florida (1980). [٣]
- Al-Tikrity, M.N. and Bansal, V.S. "Theory of Orthogonal Triangular Functions and its Application". *Int. J. Math. Educ. Sci. Technol.*, 15, No. 6 (1984), 767-779. [٤]
- Murad, A.H. "Arabic Character Recognition Using Microprocessor". *M. Sc. Thesis* (In Arabic), Control and System Eng. Dept., U.O.T. Baghdad, 1983. [٥]
- Yacu, S.G.A. "Design and Implementation of English Reading Machine for the Blind and Arabic Character Recognition". *M.Sc. Thesis*, College of Engineering, University of Baghdad, 1985. [٦]
- Granolund, G.H. "Fourier Preprocessing for Handprinted Character Recognition". *IEEE Transaction on Computer*, Feb. (1972), 256-262. [٧]
- Fleming, J.F. and Hemmings, R.F. "A Method of Recognition for Handwritten Block Capitals". *Pattern Recognition letters*, 1, Nos. 5,6 (1983), 457-464. [٨]
- Mantas, J. and Heaton, A.G. "Handwritten Character Recognition by Parallel Labelling and Shape Analysis". *Pattern Recognition letters*, 1, Nos. 5,6 (1983), 465-468. [٩]
- Yamashita, Y., Higuchi, K.; Yamada, Y. and Haga, Y. "Classification of Handprinted Kanji Characters by the Structured Segment Matching Method". *Pattern Recognition Letters*, 1, Nos. 5,6 (1983), 475-479. [١٠]
- Kobayashi, K.; Yoda, F.; Yamamoto, K. and Nambu, H. "Recognition of Handprinted Kanji Characters by the Stroke Matching Method". *Pattern Recognition Letters*, 1, Nos. 5,6 (1983), 481-488. [١١]

- Al-Quisi, Iman K.S. "Recognition of Handwritten Arabic Numerals by using Fast Fourier [١٢] Transform". *M.Sc. Thesis* (In Arabic), National Computer Center Baghdad, Iraq; Feb. 1987.
- Al-Quisi, Iman K.S. "Recognition of Handwritten Arabic Numerals by using Fast Fourier [١٣] Transform". *Journal of Electronic and Computers Research*, Electronics and Computers Center, Scientific Research Council, Baghdad, Iraq; 2, No. 1 (1988), 1-11.
- Al-Quisi, Iman K.S. "Recognition of Handwritten Arabic Numerals using Maximum likelihood Functions". *First Kuwait Computer Conference*, Kuwait, March (1989).
- Rabiner, L. R. and Gold, B. *Theory and Application of Digital Signal Processing*. Englewood Cliffs, New Jersey: Prentice-Hall, Inc., 1975.
- Speake, T.C. and Mersereau, R.M. "Evaluation of Two Dimensional Discrete Fourier [١٦] Transforms Via Generalized FFT Algorithms". *IEEE* (1981), 10006-1009.
- Rosenfeld, A. and Kak, A.C. *Digital Picture Processing*. New York: Academic Press, 1976. [١٧]
- Tou, J.T. and Gonzalez, R.C. *Pattern Recognition Principles*. London: Addison-Wesley [١٨] Publishing Company, Inc., 1974.

ملحق رقم (١)

```
00000000000000000000  
00000000000000000000  
00000000000000000000  
00000000000000000000  
00000000000000000000  
00000000001000000000  
00000000001000000000  
00000000011100000000  
00000000011000000000  
00000000010000000000  
00000000011000000000  
00000000011000000000  
00000000011100000000  
00000000000000000000  
00000000000000000000  
00000000000000000000  
00000000000000000000
```

1

0000000000000000
0000000000000000
0000000000000000
0000000000000000
0000000000000000
0000000001000000
0000000001000000
0000000001110000
0000000001100000
0000000001000000
00000000011000000
00000000011001000
00000000011110000
0000000000000000
0000000000000000
0000000000000000

(e)

(i)

١-١) أحد الأنماط المستخدمة في مرحلة استخلاص الصفات وهو الحرف (خ) وقد أجريت عليه عمليات المعالجة الأولية.

١ - مصفوفة النمط الرقمية (48x48)

ب - تصغير المصفوفة إلى الأبعاد (16x16)

ج - ترکز الحرف في حيز المصفوفة الرقمية.

Real Fourier's coefficients for the character (خ)

	10.00	-0.44	-0.66	0.89	-0.66	1.00	-0.44	-0.66	0.89	1.00	-5.23	10.66	-15.22
1	17.00	-15.22	10.66	-5.23	1.00	0.89	-0.66	-0.44	10.00	10.00			
1	-10.85	9.51	-6.41	2.94	-0.38	-0.69	0.62	-0.32	0.62	-1.63	2.70	-2.76	9.73
2	-0.71	0.40	-0.29	0.40	-0.71	1.17	-1.71	2.25	-2.71	3.01	-3.12	3.01	1.17
3	6.33	-4.40	1.92	-0.06	-0.49	-0.22	1.42	-2.17	1.92	-0.87	-0.19	0.32	-6.79
4	-4.00	1.85	0.59	-2.06	2.00	-0.77	-0.59	0.98	0.00	-1.85	3.41	-3.59	4.68
5	0.15	0.76	-1.54	1.63	-0.92	-0.19	1.02	-1.02	0.08	1.37	-2.59	2.97	-0.55
6	0.71	-0.25	-0.29	0.83	-1.29	1.60	-1.71	1.60	-1.29	0.83	-0.29	-0.25	-1.01
7	0.37	-1.09	1.66	-1.90	1.80	-1.52	1.30	-1.26	1.38	-1.49	1.38	-0.98	0.22
8	-1.00	1.00	-1.00	1.00	-1.00	1.00	-1.00	1.00	-1.00	1.00	-1.00	1.00	1.00
9	0.37	0.22	-0.42	0.17	0.38	-0.98	1.38	-1.49	1.38	-1.26	1.30	-1.52	-1.09
10	0.71	-1.01	1.12	-1.01	0.71	-0.25	-0.29	0.83	-1.29	1.60	-1.71	1.60	-0.25
11	0.15	-0.55	0.08	1.09	-2.34	2.97	-2.59	1.37	0.08	-1.02	1.02	-0.19	0.76
12	-4.00	4.68	-3.41	0.77	2.00	-3.59	3.41	-1.85	0.00	0.98	-0.59	-0.77	1.85
13	6.33	-6.79	5.54	-3.21	0.92	0.32	-0.19	-0.87	1.92	-2.17	1.42	-0.22	-4.40
14	-0.71	1.17	-1.71	2.25	-2.71	3.01	-3.12	3.01	-2.71	2.25	-1.71	1.17	0.40
15	-10.85	9.73	-6.49	2.40	1.03	-2.76	2.70	-1.63	0.62	-0.32	0.62	-0.69	9.51

(٢ - ١) معاملات فوريير الحقيقة لحرف (خ) موضحة عليها التناظر في المعاملات.

Imaginary Fourier's coefficients for the character (χ)

	0.00	-1.53	2.83	-3.70	4.00	-3.70	2.83	-1.53	0.00	1.53	-2.83	3.70	-4.00	3.70	-2.83	1.53	
1	1.77	0.86	-4.34	7.24	-8.37	7.35	-4.87	2.20	-0.51	0.24	-0.92	1.55	7	6	5	4	3
2	-2.12	-0.83	4.54	-7.19	7.54	-5.51	2.29	0.40	-1.29	0.25	1.71	-3.05	2.71	-0.73	-1.71	3.01	1
3	-0.15	1.94	-3.73	4.48	-3.64	1.50	0.97	-2.63	2.80	-1.59	-0.15	1.40	-1.53	0.68	0.38	-0.72	2
4	3.00	-2.85	2.41	-1.77	1.00	-0.23	-0.41	0.85	-1.00	0.85	-0.41	-0.23	1.00	-1.77	2.41	-2.85	
5	-2.15	0.78	0.38	-0.74	0.13	1.06	-2.15	2.52	-2.03	1.04	-0.20	0.09	-0.82	1.98	-2.90	2.99	
6	-2.12	3.27	-3.71	3.01	-1.29	-0.83	2.54	-3.19	2.71	-1.51	0.29	0.40	-0.46	0.25	-0.29	0.95	
7	3.77	-4.05	3.77	-2.89	1.57	-0.17	-0.92	1.44	-1.34	0.78	-0.04	-0.68	1.29	-1.87	2.49	-3.17	
8	0.00	0.00	0.00	0.00	0.00	0.00	0.00	0.00	0.00	0.00	0.00	0.00	0.00	0.00	0.00	0.00	
9	-3.77	3.17	-2.49	1.87	-1.29	0.68	0.04	-0.78	1.34	-1.44	0.92	0.17	-1.57	2.89	-3.77	4.05	
10	2.12	-0.95	0.29	-0.25	0.46	-0.40	-0.29	1.51	-2.71	3.19	-2.54	0.83	1.29	-3.01	3.71	-3.27	
11	2.15	-2.99	2.90	-1.98	0.82	-0.09	0.20	-1.04	2.03	-2.52	2.15	-1.06	-0.13	0.74	-0.38	-0.78	
12	-3.00	2.85	-2.41	1.77	-1.00	0.23	0.41	-0.85	1.00	-0.85	0.41	0.23	-1.00	1.77	-2.41	2.85	
13	0.15	0.72	-0.38	-0.68	1.53	-1.40	0.15	1.59	-2.80	2.63	-0.97	-1.50	3.64	-4.48	3.73	-1.94	
14	2.12	-3.01	1.71	0.73	-2.71	3.05	-1.71	-0.25	1.29	-0.40	-2.29	5.51	-7.54	7.19	-4.54	0.83	
15	-1.77	2.63	-1.77	0.09	1.26	-1.55	0.92	-0.24	0.51	-2.20	4.87	-7.35	8.37	-7.24	4.34	-0.86	
16	1	2	3	4	5	6	χ	7	8								

The chosen efficient elements coeff.s for FFT coeff.s

17.00 -15.22 10.66 -10.85 9.51 -6.41 -0.38 0.40 0.40 6.33 -4.40 1.92 -4.00 2.25

9.73 -6.49 2.40 -1.53 2.83 0.86 -4.34 7.24 -0.38 1.71 0.73 -2.71 -1.77 0.09

المعاملات المكافقة المختارة من معاملات فوريير.

(٣) معاملات فوريير الخيالية لحرف (خ) موضحة عليها التناظر في المعاملات.

(ii)

(٤-١) أحد الأنماط المستخدمة في مرحلة استخلاص الصفات وهو الحرف (ت) وقد أجريت عليه عمليات المعالجة الأولية.

- ١ - مصفوفة النمط الرقمية (48x48)
 - ب - تصغير المصفوفة إلى الأبعاد (16x16)
 - ج - تمركز الحرف في حيز المصفوفة الرقمية.

(١ - ٥) معاملات فوريير الحقيقة لحرف الـ (ت)

Real Fourier's coefficients for the character $\chi(\text{ت})$

12.00	-9.29	3.41	1.15	-2.00	0.51	0.59	-0.37	0.00	-0.37	0.59	0.51	-2.00	1.15	3.41	-9.29
-10.81	7.75	-2.07	-2.07	2.85	-1.72	0.89	-0.69	0.00	1.39	-1.96	0.54	1.43	-0.89	-3.39	8.75
7.66	-4.72	0.00	3.07	-3.41	2.54	-2.00	1.51	0.00	-2.11	2.83	-1.07	-1.41	1.46	2.00	-6.33
-3.65	1.31	1.87	-3.45	3.18	-2.54	2.39	-1.87	0.00	2.39	-3.07	1.07	1.77	-2.45	0.11	2.96
0.00	1.43	-2.83	2.85	-2.00	1.65	-2.00	1.77	0.00	-2.26	2.83	-0.85	-2.00	3.18	-2.00	0.23
2.48	-2.96	2.72	-1.46	0.23	-0.20	1.07	-1.31	0.00	1.87	-2.39	0.80	1.65	-3.07	2.96	-2.39
-3.66	3.39	-2.00	-0.04	1.41	-1.21	0.00	0.69	0.00	-1.39	2.00	-1.13	-0.59	2.04	-2.83	3.31
3.98	-3.31	1.39	0.89	-2.26	2.07	-0.87	-0.09	0.00	0.91	-1.72	1.72	-0.85	-0.54	2.07	-3.39
-4.00	3.26	-1.41	-0.65	2.00	-2.18	1.41	-0.43	0.00	-0.43	1.41	-2.18	2.00	-0.65	-1.41	3.26
3.98	-3.39	2.07	-0.54	-0.85	1.72	-1.72	0.91	0.00	-0.09	-0.87	2.07	-2.26	0.89	1.39	-3.31
-3.66	3.31	-2.83	2.04	-0.59	-1.13	2.00	-1.39	0.00	0.69	0.00	-1.21	1.41	-0.04	-2.00	3.39
2.48	-2.39	2.96	-3.07	1.65	0.80	-2.39	1.87	0.00	-1.31	1.07	-0.20	0.23	-1.46	2.72	-2.96
0.00	0.23	-2.00	3.18	-2.00	-0.85	2.83	-2.26	0.00	1.77	-2.00	1.65	-2.00	2.85	-2.83	1.43
-3.65	2.96	0.11	-2.45	1.77	1.07	-3.07	2.39	0.00	-1.87	2.39	-2.54	3.18	-3.45	1.87	1.31
7.66	-6.33	2.00	1.46	-1.41	-1.07	2.83	-2.11	0.00	1.51	-2.00	2.54	-3.41	3.07	0.00	-4.72
-10.81	8.75	-3.39	-0.89	1.43	0.54	-1.96	1.39	0.00	-0.69	0.89	-1.72	2.85	-2.07	-2.07	7.75

Imaginary Fourier's coefficients for character (ا)

0.00	-1.20	0.83	0.33	0.00	-2.50	4.83	-4.03	0.00	4.03	-4.83	2.50	0.00	-0.33	-0.83	1.20
-0.65	<u>1.54</u>	<u>-0.87</u>	<u>-0.22</u>	-0.41	2.96	-4.80	3.37	0.77	-4.15	4.07	-1.31	-1.00	0.96	0.31	-0.54
0.59	-0.97	0.00	0.96	0.00	-2.54	4.00	-2.31	-1.41	3.80	-2.83	-0.13	2.00	-1.46	0.00	0.31
0.43	-0.54	1.66	-2.31	1.00	1.52	-2.72	1.11	1.85	-3.15	1.54	1.22	-2.41	1.31	0.39	-0.89
-2.00	2.41	-3.41	3.61	-2.00	-0.41	1.41	-0.08	-2.00	2.41	-0.59	-1.61	2.00	-0.41	-1.41	2.08
3.26	-3.72	4.39	-4.13	2.41	-0.31	-0.46	-0.54	1.85	-1.72	0.11	1.31	-1.00	-0.78	2.49	-3.15
-3.41	3.72	-4.00	3.49	-2.00	0.46	0.00	0.69	-1.41	1.11	0.00	-0.66	0.00	1.54	-2.83	3.31
2.18	-2.29	2.31	-1.87	1.00	-0.22	0.07	-0.46	0.77	-0.54	0.03	0.13	0.41	-1.31	1.96	-2.15
0.00	0.00	0.00	0.00	0.00	0.00	0.00	0.00	0.00	0.00	0.00	0.00	0.00	0.00	0.00	0.00
-2.18	2.15	-1.96	1.31	-0.41	-0.13	-0.03	0.54	-0.77	0.46	-0.07	0.22	-1.00	1.87	-2.31	2.29
3.41	-3.31	2.83	-1.54	0.00	0.66	0.00	-1.11	1.41	-0.69	0.00	-0.46	2.00	-3.49	4.00	-3.72
-3.26	3.15	-2.49	0.78	1.00	-1.31	-0.11	1.72	-1.85	0.54	0.46	0.31	-2.41	4.13	-4.39	3.72
2.00	-2.08	1.41	0.41	-2.00	1.61	0.59	-2.41	2.00	0.08	-1.41	0.41	2.00	-3.61	3.41	-2.41
-0.43	0.89	-0.39	-1.31	2.41	-1.22	-1.54	3.15	-1.85	-1.11	2.72	-1.52	-1.00	2.31	-1.66	0.54
-0.59	-0.31	<u>0.00</u>	<u>1.46</u>	<u>-2.00</u>	0.13	2.83	-3.80	1.41	2.31	-4.00	2.54	0.00	-0.96	0.00	0.97
0.65	0.54	<u>-0.31</u>	<u>-0.96</u>	<u>1.00</u>	1.31	-4.07	4.15	-0.77	-3.37	4.80	-2.96	0.41	0.22	0.87	-1.54

The chosen efficient elements coeff.s from FFT coeff.s

12.00	-9.29	3.41	-10.81	7.75	-2.07	2.85	-4.72	3.07	-3.65	1.31	1.87	0.00	1.46
8.75	-3.39	-0.89	-1.20	0.83	1.54	-0.87	-0.22	-0.39	0.00	1.46	-2.00	-0.31	-0.96

المعاملات المتكافئة المختارة من معاملات فوريير.

(٦-١) معاملات فوريير الخيالية لحرف الـ (ت)

ملحق رقم (٢)

بيان جهاز مساند المالي

1)	أ	15.00	-13.88	10.95	-11.30	9.67	-7.11	-3.01	-1.92	-0.38	2.39	-3.34	3.26	-3.00	-2.80
		11.21	-9.29	6.19	-4.09	6.95	2.92	-4.26	4.10	1.77	2.12	-3.34	3.41	-6.11	7.49
2)	ب	11.50	-11.04	9.74	-9.10	8.39	-7.08	-3.53	-3.36	-2.06	0.68	-0.49	0.25	-2.00	-3.36
		9.10	-8.39	7.08	-2.30	4.24	3.09	-4.40	5.10	-0.06	0.35	-0.95	1.35	-2.17	3.47
3)	ت	9.00	-6.98	3.26	-8.36	5.95	-2.19	-0.83	-4.16	0.41	-4.51	2.21	0.65	2.50	-1.17
		6.84	-3.46	1.73	-4.12	4.89	4.64	-4.91	3.02	-2.42	3.21	-1.86	1.06	-4.18	2.84
4)	ج	13.00	-8.71	0.85	-11.71	7.58	-1.76	-0.63	-5.18	-2.23	-4.86	2.63	-2.14	2.50	5.41
		8.13	0.14	-4.83	-2.93	1.18	2.65	1.08	-4.48	-3.69	4.12	-2.27	0.14	-3.20	0.47
5)	د	10.50	-8.99	5.62	-9.42	8.04	-4.67	-0.37	-5.83	-0.63	-3.07	3.35	-2.15	0.00	-3.23
		8.10	-5.45	3.39	-3.49	4.83	4.04	-5.32	4.10	0.97	0.85	-0.36	0.35	-3.07	2.37
6)	هـ	12.17	-8.43	1.79	-11.07	7.14	-0.91	1.11	-4.70	1.90	-4.44	2.07	0.92	1.03	0.90
		7.99	-1.85	-0.77	-3.66	2.56	3.77	-2.25	0.79	-0.11	0.91	1.64	-1.43	-1.94	-0.97
7)	ذـ	10.50	-9.15	5.97	-8.89	7.83	-4.98	-0.29	-4.80	-1.45	-1.02	1.84	-1.96	-1.50	-2.15
		7.68	-5.20	3.01	-3.76	5.68	3.83	-5.56	5.10	0.78	1.06	-0.46	0.00	-3.71	3.30
8)	فـ	13.00	-9.44	2.91	-11.60	8.02	-1.50	1.66	-5.20	2.90	-4.23	2.39	1.40	1.00	-0.02
		8.43	-2.77	0.54	-3.26	2.32	3.57	-2.66	0.05	0.80	-0.50	3.24	-2.41	-0.84	-1.74
9)	حـ	12.00	-9.23	4.18	-11.21	8.38	-3.66	-1.54	-6.44	-1.41	-6.66	4.11	-0.81	4.50	-0.62
		8.73	-3.86	1.00	-4.65	4.97	4.76	-4.48	1.82	-0.89	2.91	-1.20	0.56	-4.44	2.50
10)	كـ	16.50	-12.33	3.71	-12.36	7.68	-0.97	0.46	-1.69	0.88	2.04	-0.68	-0.14	-2.00	1.47
		10.59	-4.05	-1.35	-8.02	9.45	6.23	-5.74	1.20	-2.20	4.47	-2.42	-0.06	-8.15	4.69
11)	مـ	12.00	-8.58	2.41	-11.58	8.74	-2.74	0.34	-8.23	0.39	-8.60	7.11	-2.47	6.50	0.35
		7.76	-1.82	-0.41	-3.93	3.12	4.21	-3.82	0.76	0.91	0.56	2.48	-2.06	-1.97	-1.27
12)	ئـ	15.00	-12.93	7.66	-10.90	7.91	-3.01	4.15	0.00	4.72	3.23	-4.38	5.32	-3.00	-0.43
		10.60	-7.17	2.25	-2.89	4.41	3.55	-4.21	3.26	-3.01	2.00	-1.77	1.00	-2.71	3.01
13)	خـ	12.50	-10.19	5.27	-10.97	9.16	-4.40	0.38	-6.70	0.94	-5.05	5.02	-2.11	4.00	0.90
		8.39	-3.85	0.98	-2.77	2.97	4.44	-4.90	2.93	1.46	-1.50	3.51	-3.76	-0.12	-1.86
14)	غـ	16.00	-12.99	6.33	-10.52	6.33	-0.36	3.07	2.00	5.29	3.72	-4.72	4.80	-4.50	1.17
		9.90	-5.45	0.91	-5.09	6.33	6.56	-6.14	2.82	-1.84	2.06	-0.97	-0.65	-3.05	1.53
15)	دـ	12.00	-8.55	2.62	-11.58	8.57	-2.74	-0.42	-7.93	-0.33	-8.60	6.73	-2.09	6.50	0.27
		7.89	-2.20	-0.06	-3.48	2.21	4.40	-2.97	-0.58	0.45	0.35	1.36	-0.64	-1.28	-1.09
16)	دـ	12.50	-10.73	6.68	-10.07	8.59	-4.84	0.61	-4.63	-0.09	-0.68	2.02	-1.77	-0.50	-1.88
		8.62	-5.71	3.40	-4.03	5.68	4.10	-5.58	4.45	0.58	0.35	0.94	-1.20	-3.08	2.14
17)	رـ	9.00	-7.64	4.62	-8.18	7.27	-4.29	0.23	-5.83	-0.43	-3.35	4.01	-2.58	1.00	-1.82
		6.57	-3.98	2.31	-3.51	5.04	4.19	-6.09	5.57	0.53	1.00	-0.07	-0.21	-3.08	2.31
18)	دـ	11.00	-10.15	7.97	-8.43	8.60	-7.27	-2.82	-4.26	-3.53	1.29	0.78	-2.31	-2.00	0.73
		6.93	-4.86	3.17	-2.37	3.76	2.08	-3.86	4.53	0.11	-0.14	1.99	-3.41	-1.54	0.57
19)	تـ	13.00	-8.66	2.26	-12.43	8.85	-2.62	-0.66	-8.12	-0.63	-8.75	6.69	-1.74	6.50	-0.19
		7.57	-1.47	0.40	-3.86	1.35	5.30	-2.89	-1.01	1.84	-1.20	2.97	-0.85	0.11	-2.71
20)	سـ	16.00	-10.48	1.56	-13.85	12.45	-5.29	-1.46	-10.72	-4.09	-1.91	6.22	-6.49	-3.00	1.22
		5.61	2.41	-1.65	-2.96	0.35	4.09	-1.57	-1.99	1.03	-1.06	2.90	0.00	0.62	-3.01
21)	شـ	13.50	-10.33	5.83	-11.72	9.62	-4.53	-1.61	-7.19	-0.10	-3.53	5.13	-1.74	1.00	-3.18
		8.01	-4.88	4.88	-4.02	2.91	5.08	-4.81	2.14	2.02	-2.06	2.93	-1.85	0.10	-1.45



استخدام تقنية التحويل الرياضي في تحويل الحرف العربي المطبوعة المفضلة

الحرف التسلل	ش	س	ص	د	ذ	ط	ط	هـ	هـ	ع	ع	خـ	خـ	غـ	غـ	فـ	فـ	قـ	قـ	كـ
22)	{ 18.50 6.57	-13.43 -0.39	5.59 1.05	-14.41 -3.41	14.00 0.06	-7.73 4.47	-5.04 -3.77	-8.76 0.23	-2.78 2.56	-1.15 -4.41	3.53 3.04	-1.99 3.18	1.00 3.84	0.09 -5.35						
23)	{ 12.00 7.89	-8.55 -2.20	2.62 -0.06	-11.58 -3.48	8.57 2.21	-2.74 4.40	-0.42 -2.97	-7.93 -0.58	-0.33 0.45	-8.60 0.35	6.73 1.36	-2.09 -0.64	6.50 -1.28	0.27 -1.09						
24)	{ 19.00 6.18	-12.23 1.86	2.56 -0.75	-15.99 -4.69	14.20 1.06	-6.35 6.19	-0.79 -3.55	-11.17 -0.37	-4.63 2.79	-0.84 -2.56	5.10 2.67	-5.41 0.71	-4.00 1.26	0.39 -2.80						
25)	{ 13.00 7.75	-9.58 -1.47	3.41 -0.90	-12.00 -2.14	9.58 0.41	-3.86 3.55	-0.77 -2.01	-8.42 -1.00	-0.35 0.60	-7.99 -0.41	7.44 3.72	-3.32 -2.41	7.00 1.14	2.72 -3.78						
26)	{ 15.00 5.03	-10.29 2.41	2.41 -2.47	-12.93 -2.00	12.56 0.00	-6.57 2.25	-2.60 -0.31	-11.00 -2.31	-5.51 0.31	-1.53 0.00	6.57 1.71	-6.88 0.00	-3.00 0.00	2.91 -1.71						
27)	{ 14.00 9.87	-11.21 -6.22	5.39 3.27	-11.40 -4.11	8.36 4.77	-2.65 4.75	2.32 -4.36	-5.61 1.11	0.72 1.42	-3.81 -1.35	5.04 1.89	-3.21 -0.70	2.00 -1.57	-2.81 0.99						
28)	{ 20.50 12.75	-15.63 -6.36	6.03 1.91	-16.32 -6.71	12.46 6.83	-4.20 5.36	1.33 -5.34	-6.45 0.92	0.28 4.96	1.56 -1.70	1.58 1.30	-2.55 0.50	-4.50 -3.64	-3.18 1.44						
29)	{ 11.00 8.15	-8.89 -4.12	4.26 1.21	10.21 -5.04	8.31 6.89	-3.66 5.38	1.55 -7.33	-6.73 5.57	1.03 -1.52	-5.28 3.41	4.72 -2.08	-1.85 0.85	2.50 -5.40	-1.35 3.93						
30)	{ 14.00 9.02	-10.36 -2.37	3.62 -0.60	-13.25 -3.20	10.41 1.91	-4.06 4.18	-0.05 -3.56	-9.23 0.54	-0.18 1.60	-8.59 -1.00	7.27 4.28	-2.58 -3.62	6.00 -0.23	1.36 -3.16						
31)	{ 18.00 9.90	-15.85 -5.97	10.36 1.47	-11.34 -3.27	9.54 5.12	-5.32 3.64	2.54 -5.40	1.94 5.10	4.05 -1.71	8.13 0.71	-7.95 1.17	7.17 -3.00	-6.00 -2.14	4.05 1.34						
32)	{ 16.50 10.45	-14.79 -7.03	10.36 3.24	-11.98 -3.29	10.79 5.33	-7.19 3.02	1.35 -5.76	-2.36 6.81	0.98 -0.54	4.65 1.35	-3.47 0.33	2.57 -2.06	-5.00 -3.36	1.38 2.37						
33)	{ 12.00 9.51	-11.25 -8.20	9.24 6.41	-9.80 -2.24	8.80 3.83	-6.66 4.64	-1.38 -5.79	-4.55 5.89	-1.17 0.78	-1.65 -1.71	1.98 1.71	-1.63 -1.71	1.00 -0.22	-3.32 0.84						
34)	{ 14.50 9.35	-11.03 -4.33	5.18 3.27	-13.01 -5.06	10.09 4.47	-4.10 6.15	-1.31 -5.97	-7.68 2.49	0.24 0.46	-6.24 0.00	5.59 2.82	-1.59 -2.06	4.00 -1.88	-2.09 -1.12						
35)	{ 16.00 7.58	-12.52 -3.40	5.12 1.25	-9.65 -7.13	6.50 8.95	-0.02 6.40	3.64 -7.20	1.55 3.01	5.02 2.63	6.66 -1.00	-5.28 3.24	4.59 -3.12	-7.00 -3.50	1.17 0.83						
36)	{ 19.50 8.83	-15.30 -3.99	5.97 1.17	-11.24 -9.52	7.88 12.80	-0.35 7.19	6.68 -8.93	0.22 4.64	4.18 2.97	4.25 -1.06	-2.42 3.71	1.98 -3.62	-3.50 -5.59	1.52 2.98						
37)	{ 12.00 8.85	-10.23 -6.11	6.18 3.69	-9.90 -4.41	7.93 6.39	-3.80 6.00	1.62 -7.40	-4.51 5.89	1.15 0.42	-2.19 0.00	2.92 0.46	-1.82 -0.35	1.50 -2.92	-2.54 2.68						
38)	{ 20.50 8.97	-13.89 -1.67	5.83 3.32	-17.29 -5.39	13.64 0.50	-6.84 5.17	-3.74 -2.18	-9.38 -0.93	-4.12 2.64	-3.34 -3.26	4.75 6.02	-3.23 -1.56	0.00 2.12	-0.51 -5.85						
39)	{ 15.00 11.36	-13.70 -8.63	10.30 5.56	-12.62 -3.10	11.75 4.97	-8.91 1.92	-1.43 -3.83	-6.84 4.29	-3.23 0.94	-0.94 1.21	1.67 -0.10	-2.01 -0.85	-2.50 -3.71	-3.48 3.19						
40)	{ 20.00 7.82	-15.03 -0.82	6.83 1.14	-14.75 -3.62	12.95 0.00	-6.16 5.15	-4.84 -3.16	-7.06 -2.60	-0.83 1.83	-2.74 -3.26	4.72 7.23	-2.06 -4.06	1.50 3.97	2.05 -8.87						
41)	{ 13.00 7.14	-11.42 -3.78	7.83 1.98	-10.08 -3.10	10.52 4.12	-8.27 3.89	-3.01 -5.91	-5.34 5.40	-3.03 1.17	2.36 -0.35	-0.28 1.45	-0.72 -1.14	-4.50 -1.43	0.30 0.09						

مصفوفة الصفات (62x28) PX والمكونة من 28 معامل متكافئ لكل حرف (62) والتي استخدمت كجدول مقارنة في حالة التمييز.

Using Mathematical Transform Technique to Recognize the Printed Isolated Arabic Characters

Iman K. Salman Al Quisi

*Assistant Lecturer, Department of Computer Science, University of Technology,
Baghdad, Iraq*

Abstract. An algorithm has been designed to recognize the printed isolated Arabic Characters which are 62 letters (primary, intermediate and final).

In the first stage of the algorithm, preprocessing operations including adjusting the centre of the input character and in addition to size and stroke width normalization are carried out on the input pattern. This is followed by extracting of features using one of the mathematical transform techniques which is the two dimensional Fast Fourier Transform (2-D FFT) and determining the most statistically efficient's coeffs from the calculated coefficient.

In the second stage (recognition) a minimum distance function is used to calculate degrees of similarity, and assignes the input pattern to the class which has the higher degree of similarity.

The developed recognition algorithm is tested using 744 samples of printed characters (12 samples for each class) different from learning set and have been obtained from different typewriters (Olivetti Editor 4) similar in size and shape characters. The percentage of successful recognition is 95.2% error is 4.8% the rejection is zero. The Correlative system – VIPS 2000 and the computer Mini-6 is used.